

大阪市大 正員 倉田宗章  
 大阪工大 正員 国村宏一  
 大阪市大 正員 O島田 功  
 大阪市大 学生員 岩波修身

**序論** 橋脚等に用いられる、標準の如き構造物に作用する荷重に対する応力の近似計算法を前回に於て報告した。今回は、逆対称に作用する荷重に対する厳密な解法を述べたもので、壁部は完全な2次元弾性体とし、ラーメンの変形についてはせん断変形も考慮した。

以下、坪井善勝先生が剛節ラーメンで取扱われた壁板の応力解析を行っておらる。

### 1 構造物の分解考察

内型ラーメンを耐震壁で補強した構造(Fig. 1)を下端で固定されていり、ラーメン構造と残りの壁部との2部分に分けて、応力解析には、ラーメン部材長を壁板の長さに等しいものとし、壁部とラーメン部との応力及び変形の連続条件は完全に満たすものとする。

### 2 記号

$$\alpha_m = \frac{m\pi}{2h} \quad p_n = \frac{n\pi}{2l}$$

$V$  = ポアソン比

$u, v$  =  $x, y$  方向の変位

$A_x, A_y$  = 柱及ひずみの断面積

$I_x, I_y$  = 柱及ひずみの断面2次モーメント

$t$  = 壁厚

### 3 壁部の応力及び変形

Fig. 1 = 実寸直角座標系に於て、 $x$ 軸に對し逆対称荷重が作用する場合、応力  $\sigma_x, \sigma_y$  は半周期奇偶関数、 $T_{xy}$  は偶関数であり、又下端 ( $x=0$ ) 固定の条件を満足する応力函数  $\phi$  は次の形で表わされる。

$$\phi = \sum_m Y_m(y) \sin \alpha x + \sum_n Y'_n(x) \sinhy \quad (3-1)$$

$$\begin{cases} Y_m(y) = B_m \sinh \alpha y + C_m \alpha y \cosh \alpha y \\ Y'_n(x) = A'_n (\cosh \beta x - \frac{1+v}{2} \beta x \sinh \beta x) + B'_n \sinh \beta x + C'_n \beta x \cosh \beta x \end{cases} \quad (3-2)$$

$$T = E t l \quad p \{(1+v) B'_n - C'_n (1+v)\} + \sum_m \frac{20^2}{l(\alpha^2 + \beta^2)} \sin \frac{m\pi}{2} [B_m (1+v) \cosh \alpha l + C_m (1+v) (\alpha l \sinh \alpha l - \frac{\alpha^2 - \beta^2}{\alpha^2 + \beta^2} \cosh \alpha l) + 2 \cosh \alpha l]$$

応力及び変形

$$\sigma_x|_{x=h} = \frac{\partial^2 \phi}{\partial y^2}|_{x=h} = \sum_m \alpha^2 \sin \frac{m\pi}{2} \{B_m \sinh \alpha y + C_m (\alpha y \sinh \alpha y + \alpha y \cosh \alpha y)\} - \sum_n \beta^2 \sin \frac{n\pi}{2} \times D_n$$

$$\sigma_x|_{y=l} = \frac{\partial^2 \phi}{\partial x^2}|_{y=l} = \sum_m \alpha^2 \sin \alpha x \{B_m \sinh \alpha l + C_m (2 \sinh \alpha l + \alpha l \cosh \alpha l)\} - \sum_n \beta^2 \sin \frac{n\pi}{2} \times Y'_n(x)$$

$$\sigma_y|_{x=h} = \frac{\partial^2 \phi}{\partial x^2}|_{x=h} = - \sum_m \alpha^2 \sin \frac{m\pi}{2} \times Y_m(y) - \sum_n \beta^2 \sin \frac{n\pi}{2} \times E_n$$

$$\sigma_y|_{y=l} = \frac{\partial^2 \phi}{\partial x^2}|_{y=l} = - \sum_m \alpha^2 \sin \alpha x (B_m \sinh \alpha l + C_m \alpha l \cosh \alpha l) - \sum_n \beta^2 \sin \frac{n\pi}{2} \{A'_n (V \cosh \beta x + \frac{1+v}{2} \beta x \sinh \beta x) - B'_n \sinh \beta x - C'_n (2 \sinh \beta x + \beta x \cosh \beta x)\}$$

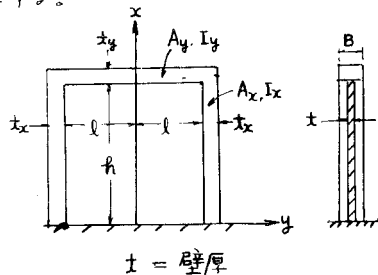


Fig. 1

$$\begin{aligned}\tau_{xy}|_{x=h} &= -\frac{\partial^2 \phi}{\partial x \partial y}|_{x=h} = -\sum_m \alpha^2 \cos \frac{m\pi}{2} \left\{ B_m \cosh \alpha y + C_m (\cosh \alpha y + \alpha y \sinh \alpha y) \right\} - \sum_n \beta^2 \cos \beta y \times F_n \\ \tau_{xy}|_{y=l} &= -\frac{\partial^2 \phi}{\partial x \partial y}|_{y=l} = -\sum_m \alpha^2 \cos \alpha y \left\{ B_m \cosh \alpha l + C_m (\cosh \alpha l + \alpha l \sinh \alpha l) \right\} \\ &\approx T\end{aligned}$$

$$\begin{cases} D_n = A_n (\cosh \beta h - \frac{1+v}{2} \beta h \sinh \beta h) + B_n \sinh \beta h + C_n \beta h \cosh \beta h \\ E_n = A_n' (\nu \cosh \beta h + \frac{1+v}{2} \beta h \sinh \beta h) - B_n' \sinh \beta h - C_n' (2 \sinh \beta h + \beta h \cosh \beta h) \\ F_n = A_n' (\frac{1-v}{2} \sinh \beta h - \frac{1+v}{2} \beta h \cosh \beta h) + B_n' \cosh \beta h + C_n' (\cosh \beta h + \beta h \sinh \beta h) \end{cases}$$

$$\begin{aligned}E u|_{x=h} &= -\sum_n \sin \beta y \left[ \beta A_n \left\{ \frac{(1+v)(1-v)}{2} \sinh \beta h - \frac{(1+v)^2}{2} \beta h \cosh \beta h \right\} + \beta B_n' \frac{(1+v)^2}{1-v} \beta h \sinh \beta h \right. \\ &\quad \left. + \sum_m \frac{2Q^2}{\beta(Q^2+\beta^2)} \sin \frac{m\pi}{2} \cos \frac{m\pi}{2} \left[ B_m(1+v) \cosh \alpha l + C_m(1+v) (\alpha l \sinh \alpha l - \frac{Q^2-\beta^2}{\alpha^2+\beta^2} \cosh \alpha l) + 2 \cosh \alpha l \right] \right] \\ E v|_{y=l} &= -\sum_m \alpha \sin \alpha x \left[ B_m(1+v) \cosh \alpha l + C_m \left\{ (1+v) \alpha l \sinh \alpha l - (1-v) \cosh \alpha l \right\} \right]\end{aligned}$$

4 - ラ - X 二部材の変形 (ラ - X 二部材は長方形断面を仮定する)

$$\begin{aligned}\frac{d^2 u'}{dy^2} &= \frac{M_y}{EI_y} \quad \frac{d^2 v'}{dx^2} = \frac{M_x}{EI_x} \quad \text{---曲げ変形} \\ \frac{du''}{dy} &= -\frac{3}{2} \times \frac{Q_y}{A_y G} \quad \frac{dv''}{dx} = -\frac{3}{2} \times \frac{Q_x}{A_x G} \quad \text{---せん断変形} \\ \frac{du}{dy} &= \frac{N_y}{EA_y} \quad \frac{dv}{dx} = \frac{N_x}{EA_x} \quad \text{---軸力による変形} \\ u &= u' + u'' \quad v = v' + v'' \quad \text{---半及半及の変形}\end{aligned}$$

$t = \frac{h}{2}$ , 左式は左, 右式は右  $\rightarrow \rightarrow$  T の式を表す。

a) 外荷重  $S$  によるラ - X 二部材の変形 (添字 1, 2 の場合を表す)

/ 例として Fig. 2 に示す上部水平力  $S$  の作用する時。

$$\text{轴直压力 } V = \frac{3P_0}{1 + 6P_0 + 9\frac{I_y}{A_y t^2} \cdot (1+v) + 3\frac{I_y}{A_x t^2}} \times \frac{t}{2l} \times S \quad P_0 = \frac{P_1 \cdot I_y}{2l \cdot I_x}$$

変位  $u_1, v_1$  は

$$\begin{aligned}E u_1 &= \frac{V}{8I_y} \left\{ \left( l^2 - \frac{6I_y}{A_x} \cdot \frac{h}{t} \right) y - y^3 \right\} = -\frac{V}{I_y} \sum_n \sin \beta y \left\{ \frac{1}{3} l^2 + \frac{I_y}{A_x} \cdot \frac{h}{t} - \frac{1}{\beta^3} \right\} \times \frac{2}{1-P} \sin \frac{n\pi}{2} \\ E v_1 &= \frac{1}{4I_x} \left\{ -\frac{S}{3} x^3 + (Sh - 2Vl) x^2 + \nu (1+v) S \times \frac{I_x}{A_x} \times x \right\} \\ &= \frac{1}{I_x} \sum_m \sin \alpha x \left\{ \frac{S}{2} t^2 + \frac{S}{v^2} - Vhl + \nu (1+v) S \times \frac{I_x}{A_x} - \frac{1}{\alpha} (S \times h - 2Vl) \sin \frac{m\pi}{2} \right\} \times \frac{1}{t} \sin \frac{m\pi}{2}\end{aligned}$$

b) 屋根部の底力  $S$  によるラ - X 二部材の変形 (添字 2 は、この場合を表す)

微小要素の均合  $\frac{1}{t} dy \rightarrow t$  (Fig. 3)

$$\begin{aligned}\frac{dN_{2y}}{dy} &= \tau_{xy}|_{x=h} \times t \quad \frac{dQ_{2y}}{dy} = -\tau_{xy}|_{x=h} \times t \\ \frac{dM_{2y}}{dy} &= Q_{2y} + \tau_{xy}|_{x=h} \times t \times \frac{t_y}{2}\end{aligned}$$

上式を積分すると  $t = f(y)$ 。

$$\frac{1}{t} N_{2y} = -\sum_n \sin \beta y \left[ \beta F_n + \sum_m \frac{2Q^2}{\beta(Q^2+\beta^2)} \sin \frac{m\pi}{2} \cos \frac{m\pi}{2} \left\{ B_m \cosh \alpha l + C_m (\alpha l \sinh \alpha l - \frac{Q^2-\beta^2}{\alpha^2+\beta^2} \cosh \alpha l) \right\} \right]$$

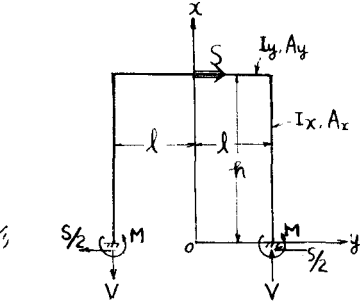
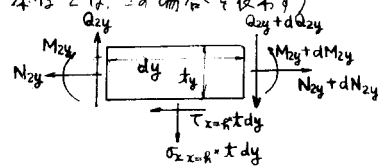


Fig. 2  
S = 上部水平力



$t = \text{壁厚}$

Fig. 3

$$\begin{aligned}\frac{1}{\pi} Q_{2y} &= -\sum_m \alpha \sin \frac{m\pi}{2} \left\{ B_m \cosh \alpha y + C_m (\cosh \alpha y + \alpha y \sinh \alpha y) \right\} - \sum_n \beta \cosh \alpha y \times D_n + \sum_m C_{1m} \\ \frac{1}{\pi} M_{2y} &= -\sum_m \sin \alpha y \left[ D_n + \frac{t_2}{2} \times \beta \times F_n + \sum_m \left[ \left( \sin \frac{m\pi}{2} + \frac{t_2 \alpha}{2} \cos \frac{m\pi}{2} \right) \frac{2\alpha}{\ell(\alpha^2 + \beta^2)} \sin \frac{m\pi}{2} \left\{ B_m \cosh \alpha l \right. \right. \right. \\ &\quad \left. \left. \left. + C_m (\alpha l \sinh \alpha l - \frac{\alpha^2 - \beta^2}{\alpha^2 + \beta^2} \cosh \alpha l) \right\} - C_{1m} \times \frac{2}{\ell \beta^2} \sin \frac{m\pi}{2} \right] \right]\end{aligned}$$

$$\begin{aligned}\frac{1}{\pi} EI_y u'_2 &= \sum_m \sin \alpha y \left[ \frac{1}{\beta^2} D_n + \frac{t_2}{2} \times \frac{1}{\beta} \times F_n + \sum_m \sin \frac{m\pi}{2} \left[ \left( \sin \frac{m\pi}{2} + \frac{t_2 \alpha}{2} \cos \frac{m\pi}{2} \right) \frac{2}{\ell(\alpha^2 + \beta^2)} \alpha \left\{ B_m \cosh \alpha l \right. \right. \right. \\ &\quad \left. \left. \left. + C_m (\alpha l \sinh \alpha l - \frac{3\alpha^2 + \beta^2}{\alpha^2 + \beta^2} \cosh \alpha l) \right\} + C_{1m} \times \frac{1}{\beta^2} \left( l^2 - \frac{2}{\beta^2} \right) + C_{2m} \times \frac{2}{\beta^2} \right] \right]\end{aligned}$$

$$\begin{aligned}\frac{1}{\pi} \times \frac{2}{3} G A_y u''_2 &= \sum_m \sin \alpha y \left[ D_n + \sum_m \sin \frac{m\pi}{2} \left[ \frac{2\alpha}{\ell(\alpha^2 + \beta^2)} \sin \frac{m\pi}{2} \left\{ B_m \cosh \alpha l + C_m (\alpha l \sinh \alpha l - \frac{\alpha^2 - \beta^2}{\alpha^2 + \beta^2} \cosh \alpha l) \right\} \right. \right. \\ &\quad \left. \left. - C_{1m} \times \frac{2}{\ell \beta^2} \right] \right]\end{aligned}$$

柱部分は同じで同様に

$$\frac{1}{\pi} N_{2x} = -\sum_m \sin \alpha x \left\{ \alpha B_m \cosh \alpha l + \alpha C_m (\cosh \alpha l + \alpha l \sinh \alpha l) - \sum_n C_{1n} \times \frac{4}{m\pi} \sin^2 \frac{m\pi}{2} \right\}$$

$$\begin{aligned}\frac{1}{\pi} Q_{2x} &= -\sum_m \alpha \cosh \alpha x (B_m \sinh \alpha l + C_m \alpha l \cosh \alpha l) - \sum_n \beta \sin \frac{m\pi}{2} \left[ A'_n \left\{ \sinh \beta x - \frac{1+\gamma}{2} (\sinh \beta x + \beta x \cosh \beta x) \right\} \right. \\ &\quad \left. + B'_n \cosh \beta x + C'_n (\cosh \beta x + \beta x \sinh \beta x) \right]\end{aligned}$$

$$\begin{aligned}\frac{1}{\pi} M_{2x} &= -\sum_m \sin \alpha x \left[ B_m (\sinh \alpha l + \frac{t_2 \alpha}{2} \cosh \alpha l) + C_m (\alpha l \cosh \alpha l + \frac{t_2 \alpha}{2} (\cosh \alpha l + \alpha l \sinh \alpha l)) \right. \\ &\quad \left. + \sum_n \sin \frac{m\pi}{2} \left[ \frac{2\beta}{\ell(\alpha^2 + \beta^2)} \sin \frac{m\pi}{2} \left\{ A'_n \left\{ \sinh \beta h + \frac{\alpha}{\beta} \sin \frac{m\pi}{2} - \frac{1+\gamma}{2} (\beta h \cosh \beta h + \frac{\alpha^2 - \beta^2}{\alpha^2 + \beta^2} \sinh \beta h) \right. \right. \right. \right. \\ &\quad \left. \left. \left. \left. - \frac{\alpha \beta}{\alpha^2 + \beta^2} \sin \frac{m\pi}{2} \right) + B'_n \cosh \beta h + C'_n (\beta h \sinh \beta h + \frac{\alpha^2 - \beta^2}{\alpha^2 + \beta^2} \cosh \beta h - 2 \cosh \beta h) \right] \right. \\ &\quad \left. - (A'_n \sin \frac{m\pi}{2} + C_{1n}) \times \frac{4}{m\pi} \sin \frac{m\pi}{2} \right] \right]\end{aligned}$$

$$\begin{aligned}\frac{1}{\pi} EI_y v'_2 &= \sum_m \sin \alpha x \left[ \frac{1}{\beta^2} B_m (\sinh \alpha l + \frac{t_2 \alpha}{2} \cosh \alpha l) + \frac{1}{\alpha^2} C_m \left\{ \alpha l \cosh \alpha l + \frac{t_2 \alpha}{2} (\cosh \alpha l + \alpha l \sinh \alpha l) \right\} \right. \\ &\quad \left. - \sin \frac{m\pi}{2} \sum_n \left[ \frac{2}{\beta(\alpha^2 + \beta^2)} \times \frac{1}{\beta} \sin \frac{m\pi}{2} \left\{ A'_n \left\{ (2+\gamma) (\sinh \beta h + \frac{\alpha}{\beta} \sin \frac{m\pi}{2}) - \frac{1+\gamma}{2} (\beta h \cosh \beta h \right. \right. \right. \right. \\ &\quad \left. \left. \left. \left. + \frac{\alpha^2 - \beta^2}{\alpha^2 + \beta^2} \sinh \beta h - \frac{\alpha \beta}{\alpha^2 + \beta^2} \sin \frac{m\pi}{2} \right) + B'_n \cosh \beta h + C'_n (\beta h \sinh \beta h + \frac{\alpha^2 - \beta^2}{\alpha^2 + \beta^2} \cosh \beta h - 2 \cosh \beta h) \right] \right. \\ &\quad \left. - \frac{2}{\pi \alpha^2} \left[ \frac{1}{\alpha n} B_n (\sinh \alpha l + \frac{t_2 \alpha}{2} \cosh \alpha l) + \frac{1}{\alpha n} C_n \left\{ \alpha l \cosh \alpha l + \frac{t_2 \alpha}{2} (\cosh \alpha l + \alpha l \sinh \alpha l) \right\} \right. \right. \\ &\quad \left. \left. + \alpha n l \sinh \alpha l \right) \right] + \frac{1}{\beta^2} (B'_n - C'_n) \right] - \frac{4}{\beta^2} A'_n \times \frac{2+\gamma}{m\pi} \sin \frac{m\pi}{2} - (A'_n \sin \frac{m\pi}{2} + C_{1n}) \frac{2}{\beta^2} \left( 1 - \frac{1}{\alpha^2} \sin \frac{m\pi}{2} \right)\right]\end{aligned}$$

$$\begin{aligned}\frac{1}{\pi} \times \frac{2}{3} G A_x v''_2 &= \sum_m \sin \alpha x \left[ B_m \sinh \alpha l + C_m \alpha l \cosh \alpha l + \sum_n \frac{2\beta}{\ell(\alpha^2 + \beta^2)} \sin \frac{m\pi}{2} \sin \frac{m\pi}{2} \left[ A'_n \left\{ \sinh \beta a + \frac{\alpha}{\beta} \sin \frac{m\pi}{2} \right. \right. \right. \\ &\quad \left. \left. \left. - \frac{\alpha(\alpha^2 + \beta^2)}{\beta^2} \times \frac{2}{m\pi} \sin \frac{m\pi}{2} - \frac{1+\gamma}{2} (\beta a \cosh \beta a + \frac{\alpha^2 - \beta^2}{\alpha^2 + \beta^2} \sinh \beta a - \frac{\alpha \beta}{\alpha^2 + \beta^2} \sin \frac{m\pi}{2}) \right] \right. \\ &\quad \left. + B'_n \cosh \beta a + C'_n (\beta a \sinh \beta a + \frac{\alpha^2 - \beta^2}{\alpha^2 + \beta^2} \cosh \beta a) \right] \right]\end{aligned}$$

積分定数  $C_{1m}, C_{2m}$  は  $\tau - X$  部材の連続条件  $(u'_2 + u''_2)|_{y=l} = \bar{u}_2|_{x=R}, (\frac{du'_2}{dy} + \frac{du''_2}{dx})|_{x=R} = 0$  と  $y=l$  の式より、左上式より  $\tau - X$  部材の連続条件式より  $u_2, v_2$  は

$$u_2 = u'_2 + u''_2 \quad v_2 = v'_2 + v''_2$$

### 5 壁部と $\tau - X$ 部材の連続条件

$x$  及  $v$  方向に於ける壁板と  $\tau - X$  部材の連続条件式を  $L$  式

$$a). \text{変位の連続条件式} \quad u_1 + u_2 = u|_{x=R}, \quad v_1 + v_2 = v|_{y=l}, \quad (L-1, 2)$$

$$b). \text{軸方向の連続条件式}$$

$$\frac{1}{EI_y} \times \frac{t_2}{2} (M_{1y} + M_{2y}) + \frac{1}{EA_y} (N_{1y} + N_{2y}) = \frac{1}{E} (\sigma_y - \gamma \sigma_x)|_{x=R} \quad (L-3)$$

$$\frac{1}{EI_x} \times \frac{t_2}{2} (M_{1x} + M_{2x}) + \frac{1}{EA_x} (N_{1x} + N_{2x}) = \frac{1}{E} (\sigma_x - \gamma \sigma_y)|_{y=l}. \quad (L-4)$$

(5-1, 2, 3, 4) 式か、 $x, y$  の如何にかかわらず恒等的に成立するためには、前記の正弦フーリエ級数に展開した各式を代入し、 $B_m, C_m, A'_m, B'_m, C'_m$  を未定常数として次の各式をう。

(5-1), (5-3) 式より、

$$\sum_m B_m P_{mn} + \sum_m C_m Q_{mn} + A'_m K_n + B'_m L_n + C'_m M_n = \Delta_n \quad (5-1')$$

$$\sum_m B'_m P'_{mn} + \sum_m C'_m Q'_{mn} + A'_m K'_n + B'_m L'_n + C'_m M'_n = E_n \quad (5-3')$$

(5-2), (5-4) 式より

$$B_m P_m + C_m Q_m + \sum_n B_n R_{mn} + \sum_n C_n S_{mn} + \sum_n A'_n T_{mn} + \sum_n B'_n L'_{mn} + \sum_n C'_n M'_{mn} = \delta_m \quad (5-2')$$

$$B_m P'_m + C_m Q'_m + \sum_n A'_n T'_{mn} + \sum_n B'_n L'_{mn} + \sum_n C'_n M'_{mn} = \varepsilon_m \quad (5-4')$$

これら4元の方程式と(3-2)式( $u_{xz=0}=0, t_{xy}$ を条件式)と連立して解くことにより、未定常数を求め、壁部及びラーメン部の応力と変位を定めることが出来る。

1. 計算例。

上部水平力、下部荷重の場合、Fig. 1 の各値は次の値を仮定し、計算を行ふ。

$$h = 2l, \text{ 不透水性比 } V = 0.3, \text{ 幅 } B = 5l$$

$$t_x = t_y = 0.1l$$

頂部偶角、ラーメンと壁板との変位適合状態を表すと、

頂部	ラーメンの変位 - 壁板の変位		
	$x$ 方向の変位差 $\delta_{ET}$	$y$ 方向の変位差 $\delta_{ET}$	初期変位差 $\delta_{ET}$
1	-9.8	-17.8	-9.3
2	2.2	3.0	-2.1
5	0.21	-0.22	1.3

表-1

Fig. 4 はラーメンと壁板との変形状態を図示したもの。表-1を見ると、3種類の頂部では完全に適合せず、たゞ10項目は満足で、3種類とも不満足である。

(参考文献)

(1) Y. Tsuboi "Rigid Frames and thin Plates on Lateral Forces"

Proceeding of the 1st Japan National Congress for App. Mech., 1951

(2) Y. Tsuboi "Stress Analysis of a Wall under Bending when Stiffened around by Rigid Frame"

Proceeding of the 2nd Japan National Congress for App. Mech., 1952

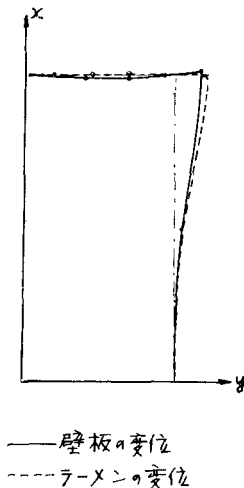


Fig. 4